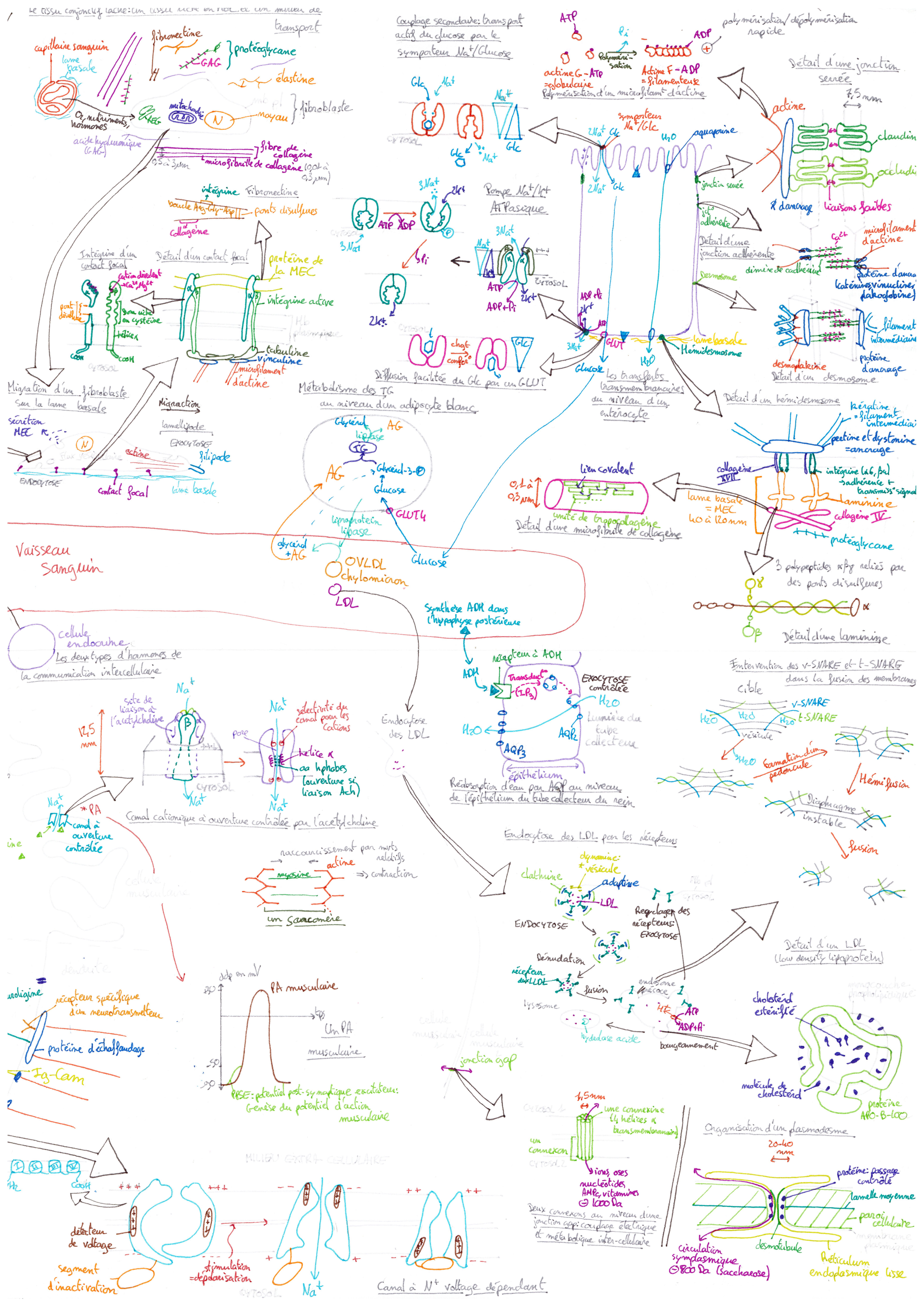

Le tissu conjonctif lâche: un tissu riche en HOC et un milieu de transport
capillaire sanguin
lame basale
fibronectine
GAG
protéoglycane
élastine
mitochondrie
noyau
fibroblaste
O2, nutriments, hormones
acide hyaluronique (GAG)
fibre de collagène
microfibrille de collagène (0,01 à 0,3 µm)
0,5 à 3 µm
intégrine
Fibronectine
boucle Arg-Gly-Asp
ponts disulfures
collagène
Intégrine d'un contact focal
Détail d'un contact focal
protéine de la MEC
intégrine active
tubuline
vinculine
microfilament d'actine
Migration d'un fibroblaste sur la lame basale
sécrétion MEC
Migraction
lamellipode
EXOCYTOSE
filipode
actine
ENDOCYTOSE
contact focal
lame basale
Couplage secondaire: transport actif du glucose par le symporteur Na+/Glucose
Glc
Na+
CYTOSOL
Pompe Na+/K+ ATPasique
ATP
ADP
3Na+
2K+
Pi
ADP+Pi
Diffusion facilitée du Glc par un GLUT
chgt conférm°
Métabolisme des TG au niveau d'un adipocyte blanc
Glycérol
AG
lipase
TG
Glycérol-3-P
Glucose
GLUT4
lipoprotein lipase
glycérol +AG
OVLDL chylomicron
LDL
Glucose
Vaisseau sanguin
ATP
Pi
ADP
polymérisation/dépolymérisation rapide
actine G-ATP = globulaire
Polymérisation
Actine F-ADP = filamenteuse
Polymérisation d'un microfilam^t d'actine
symporteur Na+/Glc
2Na+
H2O
aquaporine
jonction serrée
jct° adhérente
Détail d'une jonction adhérente
Desmosome
ADP+Pi
GLUT
lame basale
Hémidesmosome
Glucose
Les transferts transmembranaires au niveau d'un entérocyte
Détail d'une jonction serrée
7,5 nm
actine
claudine
occludine
R d'ancrage
liaisons faibles
microfilament d'actine
Ca2+
dimère de cadhérine
protéine d'ancrage (caténines, vinculines, plakoglobine)
filament intermédiaire
desmoplakine
protéine d'ancrage
Détail d'un desmosome
Détail d'un hémidesmosome
kératine = filament intermédiaire
pectine et dystonine = ancrage
collagène XVII
intégrine (α6, β4) → adhérence + transmiss° signal
laminine
collagène IV
protéoglycane
lame basale = MEC 40 à 120 nm
lien covalent
0,1 à 0,3 µm
unité de tropocollagène
Détail d'une microfibrille de collagène
3 polypeptides αβγ reliés par des ponts disulfures
Détail d'une laminine
Synthèse ADH dans l'hypophyse postérieure
récepteur à ADH
ADH
Transduct°
(IP3)
EXOCYTOSE contrôlée
H2O
lumière du tube collecteur
AQP3
AQP2
épithélium
Réabsorption d'eau par AQP au niveau de l'épithélium du tube collecteur du rein
Endocytose des LDL
cellule endocrine
Les deux types d'hormones de la communication intercellulaire
Na+
site de liaison à l'acétylcholine
12,5 nm
pore
sélectivité du canal pour les cations
hélice α
aa hphobes (ouverture si liaison Ach)
CYTOSOL
*PA
canal à ouverture contrôlée
Canal cationique à ouverture contrôlée par l'acétylcholine
raccourcissement par mvts relatifs
actine
myosine
⇒ contraction
un sarcomère
Endocytose des LDL par les récepteurs
dynamine: + vésicule
clathrine
adaptine
LDL
ENDOCYTOSE
Recyclage des récepteurs: EXOCYTOSE
Dénudation
récepteur du LDL
fusion
lysosome
endosome précoce
ATP
ADP+Pi
hydrolase acide
bourgeonnement
Détail d'un LDL (low density lipoprotein)
cholestérol estérifié
molécule de cholestérol
protéine APO-B-100
Organisation d'un plasmodesme
20-40 nm
protéine: passage contrôlé
lamelle moyenne
paroi cellulaire
membrane plasmique
circulation symplasmique ⊖800 Da (saccharose)
desmotubule
Réticulum endoplasmique lisse
Intervention des v-SNARE et t-SNARE dans la fusion des membranes
cible
v-SNARE
t-SNARE
vésicule
formation d'un pédoncule
Hémifusion
Diaphragme instable
fusion
récepteur spécifique d'un neurotransmetteur
protéine d'échaffaudage
Ig-Cam
ddp en mV
PA musculaire
tps
Un PA musculaire
PPSE: potentiel post-synaptique excitateur: Genèse du potentiel d'action musculaire
jonction gap
1,5 nm
une connexine (4 hélices α transmembranaires)
un connexon
ions, oses nucléotides AMPc, vitamines ⊖1000 Da
Deux connexons au niveau d'une jonction gap: couplage électrique et métabolique inter-cellulaire
MILIEU EXTRA CELLULAIRE
détecteur de voltage
segment d'inactivation
stimulation = dépolarisation
Na+
Canal à N+ voltage dépendant